

بررسی عددی رفتار انجاماد درون مبدل حرارتی سه لوله‌ای حاوی مواد تغییر فاز دهنده با استفاده از فین

ابوالفضل نعمت پور کشتلی^۱ و محسن شیخ الاسلامی^{۲*}

اطلاعات مقاله	چکیده
دربافت مقاله: ۹/۱۸/۹۷ پذیرش مقاله: ۲۴/۱۱/۹۷	در این مقاله به بررسی عددی رفتار انجاماد ماده تغییر فاز دهنده در یک مبدل حرارتی سه لوله‌ای دو بعدی پرداخته شده است. فضای بین پوسته و لوله‌ها با RT82 به عنوان ماده تغییر فاز دهنده پر شده است و آب به عنوان سیال گرم در لوله‌ی داخلی و خارجی جریان دارد. هدف اصلی در این مطالعه بررسی تاثیر چیدمان‌های فین و افروزن نانو ذره CuO با درصد وزنی مختلف روی فرآیند انجاماد ماده تغییر فاز دهنده است. همچنین مقایسه‌ای بین مبدل حرارتی سه لوله‌ای با فین و نانو ذره و مبدل حرارتی بدون فین و بدون نانو ذره، صورت پذیرفته است. در ادامه برای بررسی اثر تغییرات دمای سیال ورودی به عنوان پارامتر جریانی، مقایسه‌ای بین مبدل در دمای مختلف صورت گرفته است. همچنین مقدار انرژی ذخیره شده مورد بررسی قرار گرفته است. نتایج نشان دهنده این واقعیت است با افزودن نانو ذره زمان انجاماد برای تمامی مبدل‌های بررسی شده با فین نسبت به مبدل بدون فین کاهش یافته است. همچنین نتایج نشان می‌دهد، کاهش زمان انجاماد نسبت به حالت بدون فین برای چیدمان‌های لوله داخلی (Case B)، خارجی (Case C)، هر دو لوله جانبی (Case D)، هر دو لوله جانبی (Case E) به ترتیب، ۴۰٪، ۵۷٪، ۵۸٪ و ۵۶٪ می‌باشد. همچنین با تغییر دمای سیال از ۶۵ به ۶۰ و ۵۵ درجه سانتی‌گراد به ترتیب زمان انجاماد تا ۲۱٪ و ۳۴٪ کاهش یافته است.
واژگان کلیدی: فرآیند انجاماد، مواد تغییر فاز دهنده، چیدمان فین، انتقال حرارت.	

رو توجه دانشمندان به استفاده از انرژی‌های تجدیدپذیر معطوف گردیده است. در میان انرژی‌های تجدیدپذیر، انرژی خورشید از مهم‌ترین نوع انرژی‌های نو می‌باشد، که در اکثر نقاط جهان در دسترس است. یکی از محدودیت‌های استفاده از انرژی خورشیدی این است که در شب نمی‌توان از آن استفاده کرد و مقدار نور خورشیدی که کره‌ی زمین دریافت می‌کند بستگی به عواملی مثل مکان، زمان روز، زمان سال و شرایط آب و هوایی دارد. به همین دلیل استفاده از ذخیره چنین انرژی امر موثری است. سیستم‌های ذخیره‌سازی انرژی، یکی از فناوری‌های مهم

۱- مقدمه

امروزه استفاده از انرژی با افزایش جمعیت جوامع و با توجه توجه به نیاز به انرژی در بخش‌های مختلف، با مشکل بزرگی روپرور شده است. همچنین مصرف بیش از حد و روزافزون از انرژی، نیاز به تولید هر چه بیشتر آن را ضروری می‌سازد. که این امر موجب مصرف بیش از حد سوخت‌های فسیلی که جز سوخت تجدید ناپذیرند می‌شود و از طرفی استفاده بیش از حد از این نوع سوخت در اکو سیستم مشکل ایجاد می‌کند و به دنبال آن افزایش تولید گازهای گلخانه‌ای و بروز مشکلات زیست محیطی می‌شود. از این

*پست الکترونیک نویسنده مسئول: mohsen.sheikholeslami@nit.ac.ir
۱. کارشناسی ارشد، دانشکده مهندسی مکانیک، دانشگاه صنعتی نوشیروانی بازل
۲. استادیار، دانشکده مهندسی مکانیک، دانشگاه صنعتی نوشیروانی بازل

دهنده این واقعیت است که در طی فرآیند ذوب نرخ انتقال حرارت به علت اثر جابه‌جایی طبیعی نسبت به فرآیند انجماد بیشتر است.

اسماعیل و همکاران [۱۰] در سال ۲۰۱۴ به بررسی عددی انجماد در یک سیلندر افقی حاوی مواد تغییر فاز دهنده پرداختند. نتایج آن‌ها نشان داد که با کاهش دمای سیال ورودی زمان انجماد مواد تغییر فاز دهنده بطور قابل توجهی کاهش یافته است بنابراین مواد تغییر فاز دهنده بیشتری منجمد شده است.

آگینینیم و همکاران [۱۱] در سال ۲۰۱۰ به بررسی عددی، تاثیر چهار لوله سیال انتقال دهنده (HTF) درون یک مخزن حاوی مواد تغییر فاز دهنده بر نرخ انتقال حرارت پرداختند. همچنین چیدمان‌های مختلف را مورد بررسی قرار دادند. نتایج آن‌ها نشان داد می‌توان از انتقال حرارت در راستای محوری چشم پوشی کرد.

کاستل و همکاران [۱۲] به بررسی اثر فین‌های عمودی بر رفتار انجماد پرداختند. نتایج آن‌ها نشان داد اضافه کردن فین‌های عمودی در سمت لوله سیال انتقال دهنده (HTF) باعث افزایش کارایی سیستم در طول فرآیند انجماد شده است. علت آن بخاطر افزایش اثر جابه‌جایی طبیعی بوده است.

چوی و کیم [۱۳] به بررسی پارامترهای انتقال حرارت مواد تغییر فاز دهنده در طی فرآیندانجماد در یک محفظه استوانه‌ای با فین شعاعی پرداختند. نتایج آن‌ها نشان داد قرار دادن فین یک بهبود در نرخ انتقال حرارت نسبت به حالت بدون فین می‌باشد.

عبدالحیل و همکاران [۱۴] اثر افزایش انتقال حرارت در یک مبدل حرارتی سه لوله‌ای (TTHX) با بکارگیری فین داخلی و خارجی در طی فرآیند ذوب و انجماد را مورد بررسی قرار دادند. نتایج آن‌ها نشان داد که تاثیر ضخامت فین در مقایسه با اثر تعداد فین و طول فین بر روی زمان ذوب و انجماد ناچیز است.

قاسمی و همکاران [۱۵] انتقال حرارت جابه‌جایی طبیعی درون یک محفظه مربعی حاوی نانو سیال آب-آلومینا را به صورت عددی مورد مطالعه قراردادند. نتایج آن‌ها نشان دهنده این واقعیت است که با افزایش عدد رایلی و کسر حجمی نانوذرات میزان انتقال حرارت افزایش می‌یابد.

برای استفاده مجدد از انرژی در زمان کمبود انرژی می‌باشند. سیستم‌های ذخیره‌سازی انرژی به این صورت است که انرژی مازاد تولید شده در ساعت‌های کم باری در سیستم ذخیره کننده انباشته شده و می‌تواند نیاز ساعت‌های کمبود انرژی را جبران کند. یکی از مهمترین روش‌ها ذخیره‌سازی، ذخیره سازی بصورت حرارتی است. این روش ذخیره‌سازی قابلیت ترکیب شدن با سیستم‌های رایج تولیدگرما و همچنین سیستم‌های مبتنی بر انرژی خورشیدی را دارد. یکی از روش‌های ذخیره‌سازی انرژی گرمای، ذخیره‌سازی بصورت نهان^۱ است. از مزایای استفاده از روش نهان می‌توان به گرمای نهان ذوب بالا، محدوده وسیع دمای تغییر فاز و تغییر دمایی اندک به هنگام ذوب و انجماد نام برد. از طرفی به دلیل بالا بودن مقدار گرمای نهان در مواد تغییر فاز دهنده^۲، این روش امکان ذخیره‌سازی انرژی حرارتی را در حجم کم امکان پذیر می‌سازد. این خصوصیات اجازه می‌دهد که مواد تغییر فاز دهنده در بسیاری از کاربردهای صنعتی مانند ذخیره حرارتی انرژی خورشیدی [۱-۲]، مدیریت حرارتی دستگاه‌های الکترونیکی [۱-۳]، ذخیره حرارتی در ساختمان‌ها [۴]، خنک کننده موتورهای [۵] استفاده شود.

سوکولف و کیزمن [۶] کاربرد مواد تغییر فاز دهنده را در یک کالکتور خورشیدی برای اولین بار در سال ۱۹۹۱ ارائه کردند. یک بررسی موثر از ذخیره انرژی حرارتی به وسیله مواد تغییر فاز دهنده توسط زالبا و همکاران [۷] ارائه شد. آن‌ها انواع مواد تغییر فاز دهنده را بر اساس انتقال حرارت، خصوصیات مواد و کاربردهای آن طبقه بندی کردند.

مدانو و همکاران [۸] در سال ۲۰۰۹ به طور تجربی به بررسی خصوصیات انتقال حرارت مختلف سیستم‌های ذخیره‌سازی مواد تغییر فاز دهنده کوچک در طی فرایندهای ذوب و انجماد به منظور استفاده بالقوه آن‌ها در سیستم‌های کوچک اندازه‌گیری پرداختند. نتایج نشان داد که مبدل حرارتی دو لوله با مواد تغییر فاز دهنده که در یک ماتریس گرافیت تعییه شده، دارای بالاترین مقدار ضریب انتقال حرارت بود.

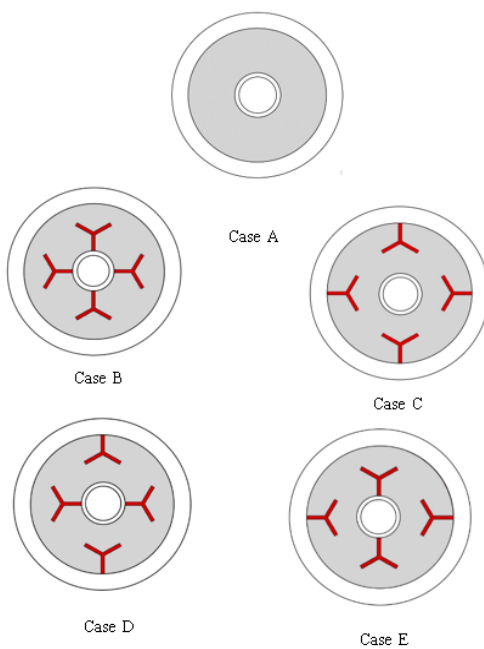
ساری و همکاران [۹] در سال ۲۰۰۹ بصورت آزمایشگاهی در یک سیستم ذخیره‌سازی انرژی بصورت پوسته و لوله به بررسی فرآیند انجماد و ذوب پرداختند. نتایج آن‌ها نشان

^۱ Latent Thermal Energy System

^۲ Phase change Material(PCM)

جدول ۱. خواص مواد تغییر فاز دهنده RT82 و نانو ذره CuO

نانو ذره	تغییر فاز دهنده	خاصیت
-	-۳۵۸/۱۵ (K)	دماهی ذوب
	۳۵۰/۱۵	
-	۱۷۶ KJ/kg	گرمای نهان
۶۵۱۰ Kg.m ^{-۳}	۷۷-۹۵۰ Kg.m ^{-۳}	چگالی
-	۰/۰۰۱ K ^{-۱}	ضریب انبساط حجمی
۵۴۰ J.kg ^{-۱} .k ^{-۱}	۲۰۰۰ J.kg ^{-۱} .k ^{-۱}	ظرفیت گرمایی ویژه
۵/۱۲×۶-۱۰ kgm ^{-۱} s ^{-۱}	۰/۰۳۴۹۹ kgm ^{-۱} s ^{-۱}	ویسکوزیته دینامیکی
۱۸W/m ^{-۱} . K ^{-۱}	۰/۲ W/m ^{-۱} . K ^{-۱}	رسانایی گرمایی



شکل ۲- سطح مقطع چیدمان‌ها

۱- شرایط مرزی و شرایط اولیه

در این کار عددی حل بصورت دما ثابت در نظر گرفته شده است. برای شرایط اولیه نیز، دمای اولیه ماده تغییر فاز دهنده، ۳۶۳/۱۵ درجه کلوین، بالاتر از دماهی ذوب ماده تغییر فاز دهنده در نظر گرفته شده و کسر مایع ۱ لحاظ شده است. سیال انتقال دهنده به عنوان شرایط مرزی در طول محاسبات ۳۳۸/۱۵ درجه کلوین درون لوله داخلی و خارجی ثابت فرض شده است.

۲- معادلات حاکم

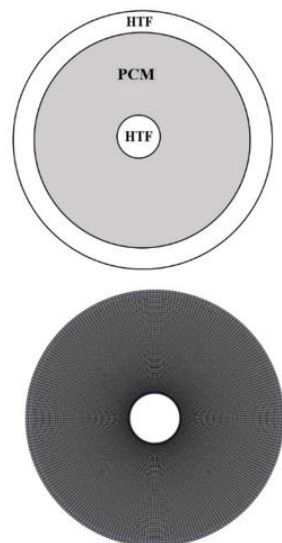
به منظور مدلسازی فرآیند تغییر فاز در یک مبدل سه لوله‌ای از روش آنتالپی متخلخل استفاده می‌شود [۱۸]. در

سعdal الدین و همت اسفه [۱۶] برای تحلیل جابجایی ترکیبی جریان سیال و انتقال حرارت در نانوسیال درون یک محفظه مربعی شکل زاویه دار که دو مانع درون آن وجود دارد، را مورد مطالعه قرار دادند. نتایج آن‌ها نشان داد که افزایش عدد رایلی و همچنین افزایش کسر حجمی نانو ذرات سبب افزایش انتقال حرارت درون محفظه می‌شود.

کمانی و رفعی [۱۷] به بررسی تأثیر افودن کسر حجمی نانوذرات بر عملکرد یک مبدل حرارتی جریان مخالف پرداختند. نتایج آن‌ها نشان می‌دهد اگر کسر حجمی نانوذرات ۶ درصد باشد، ضریب انتقال حرارت کلی به طور متوسط ۱۵ درصد نسبت به حالتی که فقط از سیال پایه استفاده شود، افزایش می‌یابد.

۳- مدل فیزیکی و ترموفیزیکی مسئله

هنده سه مورد بررسی در این پژوهش در شکل (۱) و (۲) نشان نمایش داده شده است. شکلی از یک مبدل حرارتی سه لوله‌ای (TTHX) است و سیال انتقال دهنده (HTF) در لوله داخلی و خارجی جریان دارد. از ماده RT82 به عنوان مواد تغییر فاز دهنده استفاده شده است. خواص ترموفیزیکی این ماده در جدول ۱ آمده است. با توجه به شکل لوله داخلی با قطر ۳۰ میلیمتر و لوله خارجی با قطر ۶۰ میلیمتر لوله داخلی با ضخامت ۱ میلیمتر و لوله خارجی با ضخامت ۲ میلیمتر برای همه مدل‌ها در نظر گرفته شده است. طول فین ۸ میلیمتر و ضخامت آن ۲ میلیمتر در نظر گرفته شده است.



شکل ۱- شکل فیزیکی محفظه پر شده از مواد تغییر فاز دهنده و نمایی از شبکه

محدوده ذوب ماده تغییر فاز دهنده می‌باشد. همچنین در رابطه (۲) ترم چشمی است که به علت اثرات تغییر فاز در انتقال حرارت جابه‌جایی به رابطه مومنتوم اضافه می‌شود که در رابطه (۸) آورده شده است.

$$S_i = \frac{C(1-\beta)^2}{\beta^3 + \epsilon} u_i \quad (8)$$

C ثابت ناحیه خمیری است [۱۸]. از 10^4 تا 10^7 تغییر می‌کند. ثابت ناحیه خمیری، دامنه میرایی را مشخص می‌کند. مقادیر بزرگتر این ثابت بیانگر شیب سریع تر میرایی سرعت بوده و مقادیر خیلی بزرگ آن می‌تواند باعث ایجاد نوسان در حل گردد. در این پژوهش ثابت ناحیه خمیری 10^5 در نظر گرفته شد. برای جلوگیری از صفر نشدن مخرج مقدار ϵ برابر $1/1000$ در نظر گرفته شده است که این فرضیاتی که در شبیه سازی برای نانو ذره مواد تغییر فاز دهنده لحاظ شده است عبارتند از:

۵-۳- چگالی

چگالی نانوسيال به صورت زیر بیان می‌شود:

$$\rho_{nf} = (1-\phi)\rho_{pcm} + \phi\rho_s \quad (9)$$

۶-۳- ضریب انبساط حجمی

ضریب انبساط حجمی برای نانوسيال به صورت زیر بیان می‌شود:

$$(\rho\beta)_{nf} = (1-\phi)(\beta\rho)_{pcm} + \phi(\beta\rho)_s \quad (10)$$

۷-۳- ظرفیت گرمایی ویژه

$$(c_p\beta)_{nf} = (1-\phi)(c\rho)_{pcm} + \phi(c\rho)_s \quad (11)$$

۸-۳- ویسکوزیته دینامیکی

$$\mu_{nf} = \frac{\mu_{pcm}}{(1-\phi)^{2.5}} \quad (12)$$

۹-۳- گرمای نهان

گرمای نهان برای نانوسيال به صورت زیر بیان می‌شود:

$$(\rho L)_{nf} = (1-\phi)(L\rho)_{pcm} \quad (13)$$

۱۰-۳- رسانایی گرمایی

$$K_{eff} = k_{nf_0} + k_d$$

$$\frac{k_{nf_0}}{k_{pcm}} = \frac{K_s + 2k_{pcm} - 2\phi(k_{pcm} - K_s)}{K_s + 2k_{pcm} - \phi(k_{pcm} - K_s)} \quad (14)$$

$$k_d = b(\rho c_p)_{np} \sqrt{u^2 + v^2} \phi d_p$$

این روش کسر مایع ذوب در هر تکرار محاسبه می‌گردد. ناحیه خمیری ناحیه‌ای است که در آن تخلخل با ذوب ماده تغییر فاز دهنده از ۰ تا ۱ افزایش پیدا می‌کند. هنگامی که ناحیه‌ای به طور کامل منجمد گردد تخلخل صفر گشته و سرعت جریان در این ناحیه تا صفر کاهش پیدا می‌کند. در طی فرآیند تغییر فاز مواد تغییر فاز دهنده جامد ذوب شده و به مایع تبدیل خواهد شد و برعکس. زمانی که مواد تغییر فاز دهنده بطور کامل ذوب است، کسر مایع عدد ۱ و زمانی که این مواد کاملاً جامد است، کسر مایع ۰ است. در طول این زمان بازه کسر مایع بین ۰ و ۱ می‌باشد.

۱-۳- پیوستگی

$$\nabla \cdot \vec{V} = 0 \quad (1)$$

۲-۳- مومنتوم

$$\frac{\partial V}{\partial t} + \vec{V} \cdot \left(-\nabla P + \mu \nabla^2 \vec{V} + \vec{\rho} \vec{g} \beta(T - T_{ref}) \right) + \vec{S}_i \quad (2)$$

۳-۳- انرژی

$$\frac{\partial H}{\partial t} + \nabla \cdot (\vec{V} H) = \nabla \left(\frac{k}{\rho C_p} \nabla h \right) \quad (3)$$

آنالپی کل مواد برابر است با مجموع آنالپی محسوس (h) و حرارت نهان (ΔH) در معادله (۴) و (۵) به ترتیب آورده شده است:

۴-۳- آنالپی محسوس

$$h = h_{ref} + \int_{T_{ref}}^T c_p dt \quad (4)$$

$$H = h + \Delta H \quad (5)$$

مقدار گرمای نهان (L)، طبق رابطه (۶) محاسبه می‌گردد:

$$\Delta H = \beta L \quad (6)$$

که ΔH می‌تواند از صفر (جامد) تا یک (مایع) تغییر کند. به همین منظور، کسر حجمی ذوب به صورت رابطه (۷) تعریف می‌گردد [۱۹]:

$$\beta = \frac{\Delta H}{l} = 0 \quad \text{if } T < T_s$$

$$\beta = \frac{\Delta H}{l} = 0 \quad \text{if } T > T_l \quad (7)$$

$$\beta = \frac{\Delta H}{l} = \frac{T - T_{solidus}}{T_{liquidus} - T_{solidus}} \quad \text{if } T_s < T < T_l$$

که T_1 و T_s به ترتیب نشان دهنده دمای ابتدایی و انتهایی

را در همه معادلات ثابت در نظر می‌گیرد به جز نیروی شناوری در معادله مومنتوم که در این حالت چگالی از رابطه زیر بدست می‌آید.

$$\rho = \rho_0(1 - \beta\Delta T) \quad (15)$$

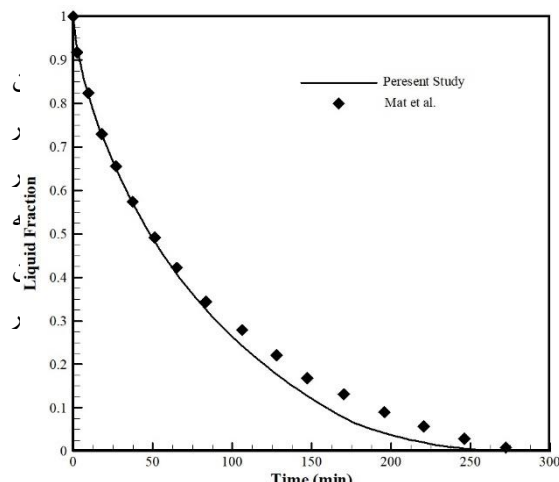
۴- اعتبار سنجی و استقلال از شبکه

۴-۱- استقلال از شبکه

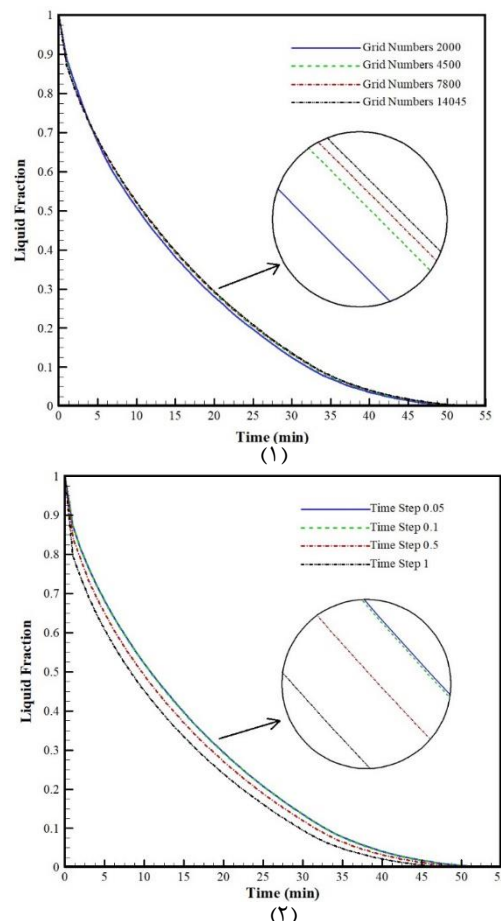
در این پژوهش مطالعات مربوط به استقلال از مش و استقلال از گام زمانی در شکل (۳) نشان داده شده است. جهت بررسی تاثیر تعداد مش و گام زمانی بر حل عددی سه شبکه مختلف با ۲۰۰۰، ۴۵۰۰، ۷۸۰۰ و ۱۴۰۴۵ سلول مورد بررسی قرار گرفت و در نهایت ۷۸۰۰ مش به عنوان شبکه مناسب انتخاب شده است. همچنین گام زمانی برای شبیه سازی ۰/۱ ثانیه انتخاب شده است.

۴-۲- اعتبار سنجی

جهت اعتبار سنجی این پژوهش از مقاله مت و همکاران [۲۲] استفاده شده است. در مقاله مذکور یک مبدل حرارتی سه لوله‌ای مدل شده است. که سیال عامل از لوله داخلی و خارجی در جریان دارد و مواد تغییر فاز دهنده فضای بین دو سیال عامل را شامل شده است. نمودار شکل (۴) تغییرات کسر مایع نسبت به زمان در مقاله مذکور و مقادیر بدست آمده، در این پژوهش را نشان می‌دهد.



شکل ۴- مقایسه تغییرات کسر مایع بر حسب زمان، محاسبه شده در مقاله مت و همکاران [۲۲] و این پژوهش تغییرات کسر مایع نسبت به زمان بدست آمده در این چیدمان فین برای پژوهش انجام شده نسبت به مقاله مذکور از دقت خوبی برخوردار است. دلیل اختلاف این دو نمودار در ناحیه انتهایی می‌تواند انتخاب ثابت ناحیه آمیخته متفاوت در حل مسئله باشد. اما نتایج نشان دهنده این



شکل ۳- استقلال از شبکه (۱) استقلال حل از مش (۲)
استقلال حل از گام زمانی

ثبت بالا تعیین شده به صورت تجربی پس از کار واکاو و کواچی ارزیابی می‌شود [۲۱].

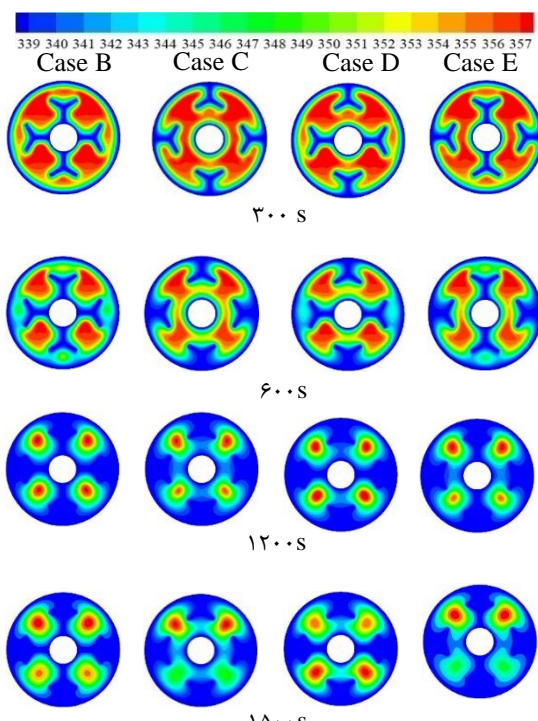
در این مطالعه از راستای طولی صرف نظر شده است و مسئله مورد نظر بصورت دو بعدی و ناپابا بررسی شده است. حجم ماده تغییر فاز دهنده در همه نمونه‌ها یکسان در نظر گرفته شده است. مدل آرام برای ویسکوزیته و الگوریتم سیمپل برای کوپل کردن سرعت و فشار انتخاب شده است. تلفات ویسکوزیته در سیال انتقال حرارت ناچیز در نظر گرفته شده است. از مقاومت حرارتی پوسته داخلی صرف نظر می‌گردد. برای اجزای سرعت، اصلاح فشار، انرژی حرارتی و کسر مایع به ترتیب $0/4$ ، $0/3$ ، $0/9$ و $0/9$ انتخاب شده است. معیار همگرایی برای معادلات پیوستگی و مومنتوم 10^{-3} و معادله انرژی 10^{-6} در نظر گرفته شده است. جهت اعمال تاثیر جاهای طبیعی می‌توان برای محاسبه چگالی ماده، از مدل تقریب بوزینسک استفاده کرد که بتوان سریع‌تر همگرا بشود. در تقریب بوزینسک، چگالی

پایین، نسبت به نواحی بالا با سرعت بیشتری صورت می‌گیرد. این حالت بخاطر ماهیت جابه‌جایی می‌باشد که باعث می‌شود فرآیند ذوب در قسمت پایین سریع‌تر رخ بددهد. همچنین ماده تغییر فاز دهنده جامد به علت وزن بیشتر به سمت پایین حرکت می‌کند.

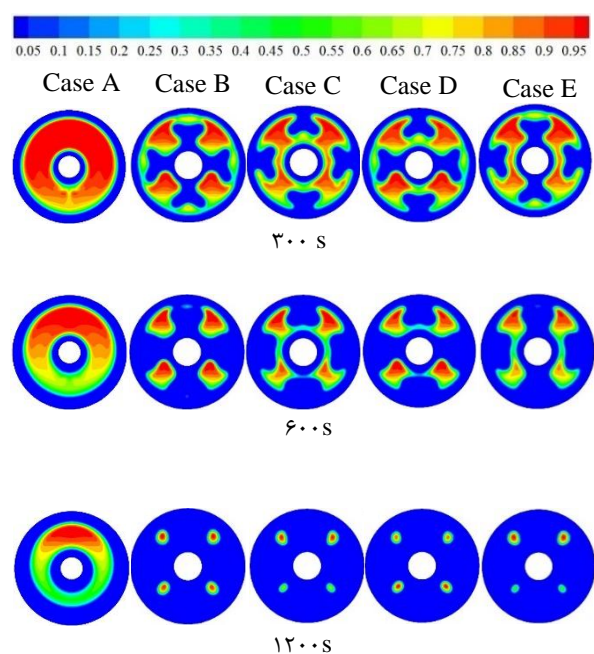
در نمونه بدون فین بعد از ۲۰ دقیقه، مقادیری زیادی از مواد تغییر فاز دهنده مذاب باقی مانده و بصورت مایع است. به همین دلیل نیاز به زمان بیشتری برای تکمیل فرآیند نسبت به دیگر نمونه‌ها دارد.

نتایج حاصل از شکل نشان می‌دهد با قرار دادن فین نرخ انتقال حرارت افزایش یافته است و زمان انجماد به نسبت قابل توجهی کاهش یافته است.

شکل (۶) نشان دهنده کانتور توزیع دما نمونه‌ها با فین در یک مبدل حرارتی سه لوله‌ای حاوی مواد تغییر فاز دهنده می‌باشد. نتایج نشان می‌دهد که فرآیند انجماد از اطراف دیواره لوله داخلی و خارجی و همچنین فین شروع شده و به داخل مواد تغییر فاز دهنده نفوذ می‌کند. در نتیجه یه لایه نازک جامد در تماس با لوله‌ها و پوسته در اثر جابه‌جایی طبیعی به وجود می‌آید. نتایج نشان می‌دهد خطوط هم‌دماهی انجماد تقریباً موازی با سطح انتقال حرارت و لایه‌های انجماد قرار می‌گیرد.



شکل ۶- کانتور توزیع دما در زمان‌های مختلف



شکل ۵- کانتور توزیع کسر حجمی در زمان‌های مختلف واقعیت است که رفتار کلی نمودار و زمان انجماد مواد تغییر فاز دهنده در نمودار مشابه است.

۵- نتایج و بحث

۱-۵- تأثیر چیدمان فین‌ها بر زمان انجماد

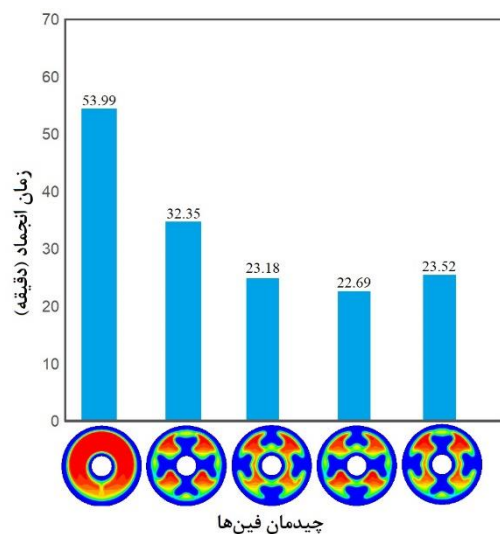
چیدمان‌های مختلف فین در یک مبدل سه لوله‌ای (TTHX) در شکل (۵) نشان داده شده است. در همه چیدمان‌ها، حجمی که در آن مواد تغییر فاز دهنده حضور دارد یکسان در نظر گرفته شده است. از این رو مساحت انتقال حرارت تمام چیدمان‌ها شکل‌ها با هم برابر است. کانتور مربوط به کسر مایع، جهت مقایسه رفتار جریان‌های ایجاد شده در زمان‌های مختلف در شکل (۵) نشان داده شده است.

کانتورهای کسر مایع در شکل نشان دهنده این واقعیت است در لحظات ابتدایی با گسترش ناحیه انجماد از دیواره‌ها، انرژی هدایت گرمایی مکانیزم غالب است. در طی فرآیند انجماد، جابه‌جایی طبیعی تنها در شروع فرآیند تأثیرگذار بوده و هر چه از زمان انجماد می‌گذرد، اثر جابه‌جایی طبیعی به سمت صفر میل می‌کند. همانطور که در شکل مشخص است در طی فرآیند انجماد در زمان اولیه فرآیند حرارت از ماده تغییر فاز دهنده مذاب به فین و لوله و پوسته انتقال پیدا می‌کند.

در شکل (۵) در نمونه بدون فین نشان می‌دهد نیمه قسمت

نتایج حاصل از شکل نشان می‌دهد چیدمان‌های لوله داخلی (Case B)، خارجی (Case C)، هر دو لوله جانبی (Case D)، هر دو لوله جانبی (Case E) نسبت به حالت بدون فین، زمان انجماد به ترتیب تا ۴۰٪، ۵۷٪، ۵۸٪ و ۵۶٪، کاهش می‌باشد.

همچنین قرار دادن فین در هر دو لوله جانبی (Case D) و هر دو لوله جانبی (Case E) نسبت به حالت خارجی (Case C) تغییرات کمی در زمان انجماد مواد تغییر فاز دهنده را نشان می‌دهد. بیشترین کاهش زمان انجماد در مبدل سه لوله‌ای با فین در هر دو لوله جانبی (Case D) می‌باشد.



شکل ۸- نمودار میله‌ای اثر چیدمان مختلف فین بر مقدار زمان انجماد

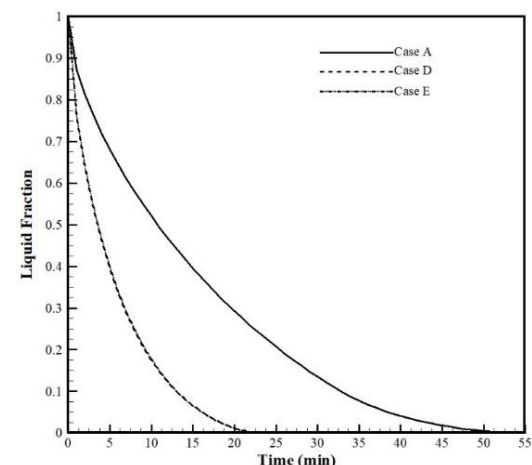
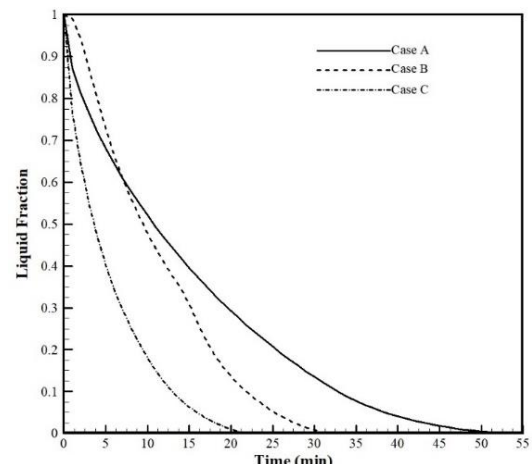
۵-۲- تاثیر دمای سیال بر زمان انجماد

شکل (۹) نمودار میله‌ای اثر افزایش عدد استفان بر مقدار زمان انجماد نشان برای سه دمای ورودی ۵۵، ۶۰ و ۶۵ درجه سانتی گراد مطابق با اعداد استفان ۱۸، ۲۳ و ۳۱ برابر است. عدد استفان حالت خارجی (Case C) نشان داده شده است. عدد استفان شرایط کارکرد مبدل حرارتی تحت انجماد را توصیف می‌کند. عدد استفان طبق رابطه (۱۶) محاسبه می‌گردد:

$$Ste = \frac{c_p(T_m - T_{HTF})}{L} \quad (16)$$

گرمای محسوس (c_p)، گرمای نهان (L) و دمای میانگین انجماد مواد تغییر فاز دهنده ($T_m = \frac{T_s + T_f}{2}$) و دمای سیال ورودی به لوله (T_{HTF}) پارامترهای برای تعیین عدد استفان هستند. عدد استفان نشان دهنده اختلاف بین دمای ورودی سیال عامل و دمای میانگین انجماد مواد تغییر فاز دهنده به دمای نهان انجماد می‌باشد. با افزایش اختلاف

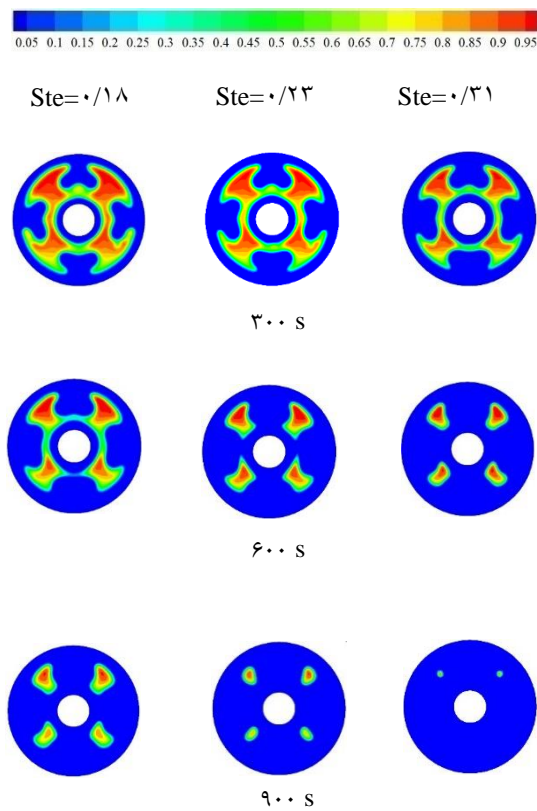
نمودار تغییرات توزیع کسر مایع برای چیدمان‌های فین‌های مختلف که به عنوان کمیتی برای نرخ انتقال حرارت فرآیند انجماد در نظر گرفته شده، در شکل (۷) نشان داده شده است. با توجه به نمودار می‌توان نتیجه گرفت به دلیل وجود فین در مبدل حرارتی شبیه ناحیه خطی نمودار توزیع کسر مایع نسبت به مبدل حرارتی بدون فین داخلی بهبود یافته است. از طرفی نتایج نشان می‌دهد قرار دادن فین در لوله خارجی (Case C) نسبت به لوله داخلی (Case A) از عملکرد خوبی برخوردار است و زمان انجماد را نسبت قابل توجهی کاهش داده است. نمودار کسر مایع برای نمونه‌های Case دو لوله جانبی (Case D) و هر دو لوله جانبی (Case E) در مقایسه با حالت بدون فین (Case A) زمان انجماد را به نسبت قابل توجهی کاهش داده است.



شکل ۷- مقایسه کانتور کسر مایع نسبت به زمان با آرایش چیدمان‌های مختلف

شکل (۸) نمودار میله‌ای اثر چیدمان مختلف فین را بر مقدار زمان انجماد نسبت به مبدل حرارتی بدون فین نشان می‌دهد.

می‌باید. بنابراین با افزایش عدد استفان زمان انجاماد مواد تغییر فاز دهنده کاهش می‌باید.

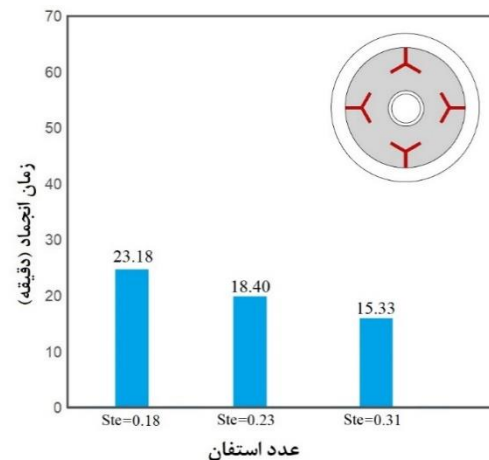


شکل ۱۰- کانتور توزیع کسر حجمی در زمان‌های مختلف نمودار زمان انجاماد مواد تغییر فاز دهنده در راستای محوری مبدل حرارتی برای درصد وزنی‌های ۰، ۰.۲۵ و ۰.۵ در شکل (۱۲) نشان داده شده است. نتایج مربوط به درصد وزنی مختلف نشان دهنده این واقعیت است که با افزایش درصد وزنی، زمان فرآیند انجاماد بطور قابل توجهی کاهش یافته است. نتایج نشان می‌دهد با افزودن درصد وزنی ۰.۲۵ و ۰.۵ زمان انجاماد برای تمامی حالت‌ها نسبت به درصد وزنی کاهش یافته است.

کانتورهای لحظه‌ای کسر مایع در زمان ۱۰ دقیقه برای مبدل حرارتی سه لوله‌ای با فین و بدون فین و همچنین با افزودن نانوذره و حالت بدون نانو ذره با درصد وزنی ۰.۲۵ و ۰.۵ در شکل (۱۳) نشان داده شده است. همانگونه که مشاهده می‌شود در ابتدای فرآیند، گردابه‌ها منطقه کوچکی از انجاماد را در اطراف لوله‌های سیال انتقال دهنده تشکیل می‌دهند، بنابراین در ابتدای جابه‌جایی طبیعی مکانیزم غالب بوده است. با گذشت زمان و افزودن نانو ذرات به مواد تغییر فاز دهنده ناحیه گرم به سمت نیمه بالایی محفظه حرکت

دمای بین سیال ورودی و دمای میانگین متناسب با آن عدد استفان افزایش می‌باید. از طرفی این امر باعث بیشتر شدن نرخ انتقال حرارت می‌شود.

نتایج حاصل از شکل (۹) نشان می‌دهد که با تغییرات دمای سیال ورودی زمان انجاماد بطور قابل توجهی کاهش می‌باید. همچنین با تغییر دمای سیال از ۶۵ به ۶۰ و ۵۵ درجه سانتی گراد به ترتیب زمان انجاماد تا ۲۱٪ و ۳۴٪ کاهش یافته است.



شکل ۹- نمودار میله‌ای اثر افزایش استفان بر مقدار زمان انجاماد

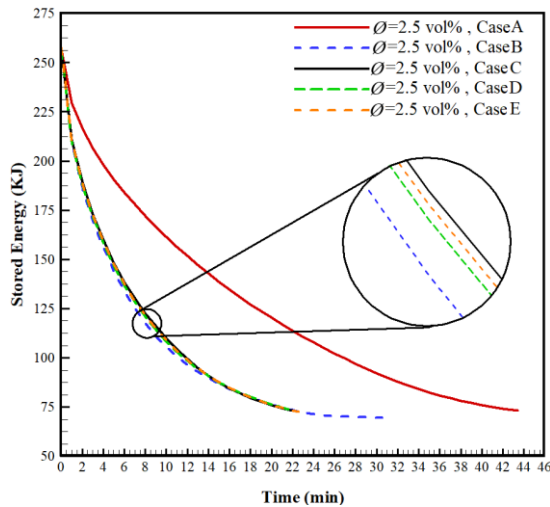
شکل (۱۰) نشان دهنده کانتور کسر مایع برای نمونه خارجی (Case C) در زمان‌های مختلف برای اعداد استفان متفاوت می‌باشد. با مقایسه کانتورها در اعداد استفان مختلف مشاهده می‌گردد که با افزایش عدد استفان انجاماد مواد تغییر فاز دهنده با نرخ بیشتری همراه شده است. نتایج نشان می‌دهد که در زمان $t=900$ در عدد استفان ۰.۱۸ مواد تغییر فاز دهنده برای تکمیل فرآیند انجاماد به زمان بیشتر نیاز دارد.

همچنین به دلیل تغییر دمای سیال ورودی ($Ste=0.31$) در زمان $t=900$ تقریباً فرآیند انجاماد تکمیل شده است.

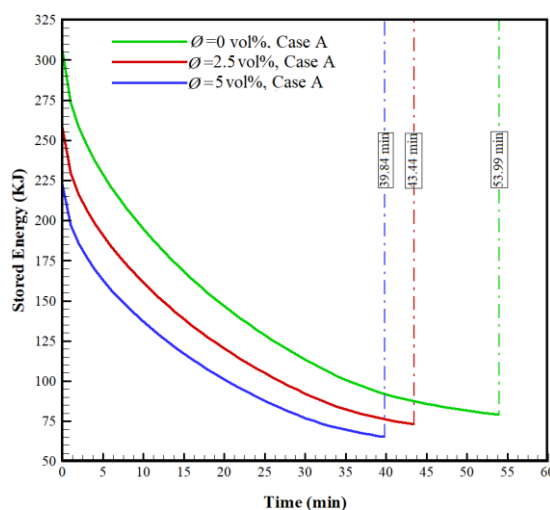
شکل (۱۱) نشان دهنده نمودار دما بر حسب تابعی از زمان برای سه دمای ورودی ۶۵، ۶۰، ۵۵ درجه سانتی گراد مطابق با اعداد استفان ۰.۱۸، ۰.۲۳ و ۰.۳۱ برای نمونه خارجی (Case C) می‌باشد.

دمای نهایی فرآیند انجاماد نشان دهنده این واقعیت است که، با افزایش عدد استفان که نشان دهنده اختلاف در دمای بین دمای ورودی سیال عامل و دمای میانگین انجاماد مواد تغییر فاز دهنده، انتقال حرارت به همان نسبت افزایش

افزایش انتقال حرارت بالا به دلیل نوع فین‌های که در این موارد استفاده می‌شود، واضح‌تر است. بنابراین، هر دو فین و نانوذرات در تسريع انجاماد مواد تغییر فاز دهنده کمک می‌کنند. اما نرخ انجاماد سریع‌تر برای فین با Case D و بیشترین مقدار کسر حجم نانو ذرات یعنی درصد وزنی ۵ است.



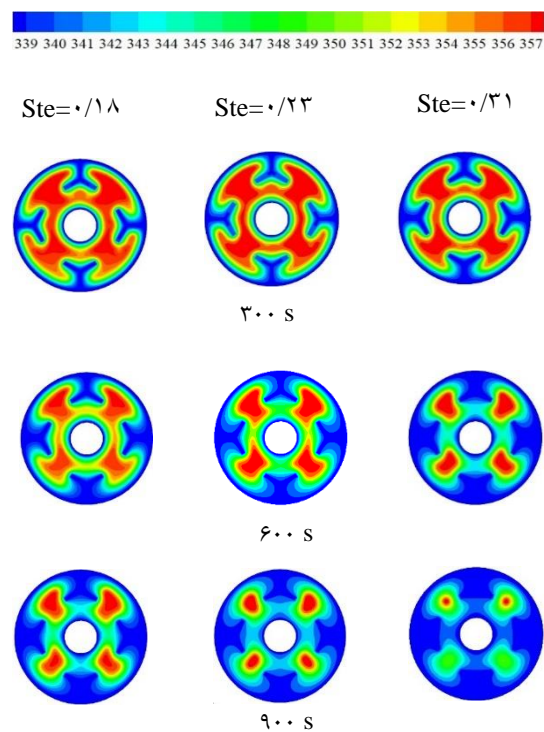
شکل ۱۴- نمودار مقایسه انرژی ذخیره شده نسبت به زمان برای مواد تغییر فاز دهنده خالص و مواد تغییر فاز دهنده با نانو ذره برای حالت‌های مختلف



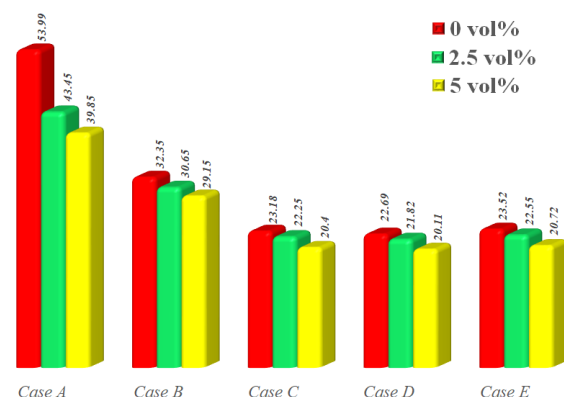
شکل ۱۵- نمودار نمودار مقایسه انرژی ذخیره شده نسبت به زمان برای مواد تغییر فاز دهنده خالص و مواد تغییر فاز دهنده با نانو ذره

نمودار مقایسه انرژی ذخیره شده نسبت به زمان طی فرآیند انجاماد برای مواد تغییر فاز دهنده خالص و مواد تغییر فاز دهنده با نانو ذرات برای حالت‌های مختلف در شکل (۱۴) و (۱۵) نشان داده شده است. نتایج حاصل از شکل (۱۴) و

کرده و گردابه گرمایی کوچکی را تشکیل می‌دهد.



شکل ۱۱- کانتور توزیع دما در زمان‌های مختلف



شکل ۱۲- نمودار میله‌ای اثر افزایش استفان بر مقدار زمان انجاماد

هرچه از زمان فرآیند می‌گذرد اثر هدایت حرارتی مکانیزم غالب می‌شود. همچنین نرخ انجاماد در لحظات اولیه سریع‌تر بدست می‌آید. همانطور که قبل توضیح داده شد، سهم انتقال حرارت جایه‌جایی طبیعی در فرآیند انتقال حرارت بیشتر در طی لحظه‌های اول عملیات بوده است. بنابراین می‌توان نتیجه گرفت که بهبود در پیشرفت انجاماد قبل از جایه‌جایی طبیعی در تمام حالت‌های مورد مطالعه، قابل مشاهده است. در مورد Case D و Case C به علت

۵. معرفی نانوذرات به تنها بی و یا ترکیبی از نانوذرات با فین به طور قابل توجهی فرآیند انجماد را بهبود می‌بخشد. با این حال، می‌توان با استفاده از فین‌ها به تنها بی برای استفاده از همان حجم، ارتقاء بسیار بهتر را به دست آورد.

۶. برای استفاده از همان حجم، استفاده از ترکیبات نانوذره با فین، اثر بهتر انجماد را نسبت به استفاده از نانوذرات به تنها بی نشان داد. همچنین، افزایش مقدار درصد حجمی در هنگام استفاده از این ترکیب‌ها عملکرد بهتر را نشان می‌دهد.

۷. نتیجه گیری می‌شود که انرژی گرمایی که توسط مواد تغییر فاز دهنده ذخیره می‌شود، می‌تواند با پراکندۀ شدن نانوذرات یا استفاده همزمان با فین‌ها تغییر یابد.

فهرست علائم

علائم انگلیسی	
عدد استfan	Ste
ناحیه خمیری ثابت، s^{-1}	C
ظرفیت گرمایی، $J\text{kg}^{-1}$	C_p
ثابت گرانشی، m^2	g
آنالپی کل، $J\text{kg}^{-1}$	H
آنالپی محسوس، J/Kg	h
ضریب هدایت حرارتی، $\text{Wm}^{-1}\text{K}^{-1}$	K
گرمایه نهان، J/Kg	L
ترم چشمۀ	S
دما، K	T
دما سطح، K	T_s
سرعت سیال، ms^{-1}	v
علائم یونانی	
ضریب انبساط گرمایی، k^{-1}	β
لزجت دینامیکی، $\text{kgm}^{-1}\text{s}^{-1}$	μ
کسر مایع	λ
چگالی، kgm^{-3}	ρ
ویسکوزیته سیال	μ
زیرنویس	
فاز مایع	l
نانوسیال	nf
مواد تغییر فاز دهنده	pcm
نانو ذره	s
فاز جامد	s

تقدیر و تشکر

نویسنده‌گان مقاله مراتب قدردانی خود را از حمایت دانشگاه صنعتی نوشیروانی بابل از طریق اعتبار پژوهشی شماره BNUT/۳۹۰۰۵۱/۹۸ اعلام می‌دارند.

نشان می‌دهد با وجود فین و افزودن نانو ذره شب نمودار بیشترین مقدار را برخوردار است. تمام حالت‌ها برای درصد وزنی ۲/۵ بوده و در ابتدای فرآیند مقادیر انرژی ذخیره شده برابر می‌باشد.

انجماد و انرژی ذخیره شده توسط مواد تغییر فاز دهنده با نانو، بهویژه برای محفظه‌ای که از دو طرف انتقال حرارت انجام می‌شود، تغییر می‌کند.

همچنین نتایج حاصل از شکل (۱۵) نشان می‌دهد که در ابتدای فرآیند برای (Case A) با درصد وزنی ۰ مقدار انرژی ذخیره شده بیشتر است. در حالیکه شب نمودار انرژی ذخیره شده نسبت به زمان برای تمامی درصد وزنی یکی می‌باشد.

۴- نتیجه گیری

در این پژوهش به بررسی انجماد پارافین RT82 در یک مبدل سه لوله برای چیدمان هندسی مختلف فین در مقایسه با مبدل بدون فین و دمای مختلف سیال ورودی مورد بررسی قرار گرفته است.

نتایج حاصل از این پژوهش شامل موارد زیر می‌باشد:

۱. در طی فرآیند انجماد، جابه‌جایی طبیعی تنها در شروع فرآیند تاثیرگذار بوده و هر چه از زمان انجماد می‌گذرد اثر جابه‌جایی طبیعی کمتر می‌شود و مکانیزم غالب انرژی هدایت گرمایی می‌باشد. به نظر می‌رسد این به دلیل نیروهای مقاوم در برابر جریان ایجاد شده توسط ساختار فین و اثرات ویسکوزیته اضافه شده توسط حضور نانوذرات است.

۲. همچنین نتایج نشان می‌دهد کاهش زمان انجماد نسبت به حالت بدون فین برای چیدمان‌های لوله داخلی (Case B)، خارجی (Case C)، هر دو لوله جانبی (Case D)، هر دو لوله جانبی (Case E) به ترتیب، ۰٪، ۵۷٪، ۵۸٪ و ۵۶٪ می‌باشد. همچنین بیشترین کاهش زمان انجماد در مبدل سه لوله‌ای با فین مربوط به نمونه در هر دو لوله جانبی (Case D) می‌باشد.

۳. افزایش عدد استfan باعث اختلاف دمای سیال ورودی در لوله داخلی و خارجی و دمای متوسط مواد تغییر فاز دهنده می‌گردد. این امر باعث افزایش نرخ انجماد بیشتری می‌شود. بنابراین با افزایش عدد استfan از ۰/۱۸ به ۰/۲۳ زمان انجماد به ترتیب تا ۳۱٪ و ۲۱٪ یافته است.

مراجع

- [1] M.A. Cuevas-Diarte, T. Calvet-Pallas, J.L. Tamarit, H.A.J. Oonk, D. Mondieig, and Y. Haget, "Nuevos materials termo adjustable", *Mundo Científico*, 2000.
- [2] D. Pal, and Y. Joshi, "Application of phase change materials for passive thermal control of plastic quad flat packages, a computational study", *Numerical Heat Transfer, Part A Applications*, Vol. 30, Jan1996, pp. 19-34.
- [3] L.F. Cabeza, J. Roca, M. Nogues, B. Zalba, and J.M. Marín, "Transportation and Conservation of Temperature Sensitive Materials with Phase Change Materials", *State of the Art. IEA ECES IA Annex 17 2nd Workshop, Ljubljana (Slovenia)*, 2002.
- [4] M. Koschenz, and B. Lehmann, "Development of a thermally activated ceiling panel with PCM for application in lightweight and retrofitted buildings", *Energy and buildings*, Vol. 36, June 2004, pp. 567-578.
- [5] L.L. Vasiliev, V.S. Burak, A.G. Kulakov, D.A. Mishkinis, and P.V. Bohan, "Latent heat storage modules for preheating internal combustion engines, application to a bus petrol engine", *Applied Thermal Engineering*, Vol. 20, July 2000, pp. 913-923.
- [6] M. Sokolov, and Y. Keizman, "Performance indicators for solar pipes with phase change storage", *Solar Energy*, Vol. 47, 1991, pp. 339-346.
- [7] B. Zalba, J.M. Marín, L.F. Cabeza, and H. Mehling, "Review on thermal energy storage with phase change materials, heat transfer analysis and applications", *Applied Thermal Engineering*, Vol. 23, February 2003, pp. 251-283.
- [8] M. Medrano, M.O. Yilmaz, M. Nogues, I. Martorell, J. Roca, and L.F. Cabeza, "Experimental evaluation of commercial heat exchangers for use as PCM thermal storage systems", *Applied Energy*, Vol. 86, October 2009, pp. 2047–2055.
- [9] A. Sari, and K. Kaygusuz, "Thermal and heat transfer characteristics in latent heat storage system using lauric acid", *Energy Conversion and Management*. Vol. 43, December 2002, pp. 2493–2507.
- [10] K.A.R. Ismail, F.A.M. Lino, R.C.R. da Silva, A.B. de Jesus, and L.C. Paixao, "Experimentally validated two-dimensional numerical model for the solidification of PCM along a horizontal long tube", *International Journal of Thermal Sciences*, Vol. 75, January 2014, pp. 184–193.
- [11] F. Agyenim, P. Eames, and M. Smyth, "Heat transfer enhancement in medium temperature thermal energy storage system using a multitube heat transfer array", *Renewable Energy*, Vol. 35, January 2010, pp. 198-207.
- [12] A. Castell, C. Sole, M. Medrano, J. Roca, L.F. Cabeza, and D. Garcia, "Natural convection heat transfer coefficients in phase change material (PCM) modules with external vertical fins", *Applied Thermal Engineering*, Vol. 28, September 2008, pp. 1676-1686.
- [13] J.C. Choi, and S.D. Kim, "Heat-transfer characteristics of a latent heat storage system using MgCl₂·6H₂O", *Energy*, Vol.17, December 1992, pp. 1153-1164.
- [14] A.A. Al-Abidi, S. Mat, K. Sopian, and M.Y. Sulaiman, A.T. Mohammad, "Numerical study of PCM solidification in a triplex tube heat exchanger with internal and external fins", *International Journal Heat Mass Transfer*, Vol.61, June 2013, pp. 684-695.
- [۱۵] مسلم قاسمی، بهزاد قاسمی و افراصیاب رئیسی، "جایجایی آزاد نانوسيال آب-آلومینا در یک محفظه مربعی حاوی دو جفت چشم و چاه"، نشریه مدل‌سازی در مهندسی، دوره ۱۵، شماره ۴۹، تابستان ۱۳۹۶، صفحه ۸۸-۷۷.
- [۱۶] سیف الله سعدالدین و محمد همت اسفه، "ارزیابی و تخمین انتقال حرارت و مشخصه‌های جریان جایجایی ترکیبی پیرامون موانع داغ تعبیه شده در محفظه مربعی شبیه دار پر شده از نانوسيال"، نشریه مدل‌سازی در مهندسی، دوره ۱۰، شماره ۲۸، بهار ۱۳۹۱، صفحه ۴۲-۳۱.
- [۱۷] کامیار کمانی و روح الله رفعی، "بررسی انتقال حرارت و جریان آرام نانوسيال از دیدگاه قانون دوم ترمودینامیک در یک مبدل حرارتی جریان مخالف"، نشریه مدل‌سازی در مهندسی، دوره ۱۳، شماره ۴۱، تابستان ۱۳۹۴، صفحه ۴۷-۵۷.
- [18] A.D. Brent, V.R. Voller, and K.J. Reid, "Enthalpy-porosity technique for modeling convection diffusion phase change application to the melting of pure metal", *Numerical Heat Transfer*, Vol. 13, 1988, pp. 297–318.

- [19] V.R. Voller, and C. Prakash, "Fixed grid numerical modeling methodology for convection-diffusion mush region phase change problems", International Journal of Heat and Mass Transfer, Vol. 30, August 1987, pp. 1709–1719.
- [20] W.B. Ye, D.S. Zhu, and N. Wang, "Numerical simulation on phase-change thermal storage/release in a plate-fin unit", Applied Thermal Engineering, Vol. 31, December 2011, P.P. 3871–84.
- [21] N. Wakao, and S. Kaguei, "Heat and mass transfer in packed beds", New York, Gordon and Breach Science Publishers, 1982, p.p. 175–205.
- [22] S. Mat, A. A. Al-Abidi, K. Sopian, Sulaiman, M. Y., and A.Th. Mohammad, "Enhance heat transfer for PCM melting in triplex tube with internal-external fins", Energy Conversion and Management, Vol. 74, October 2013, pp. 223-236.